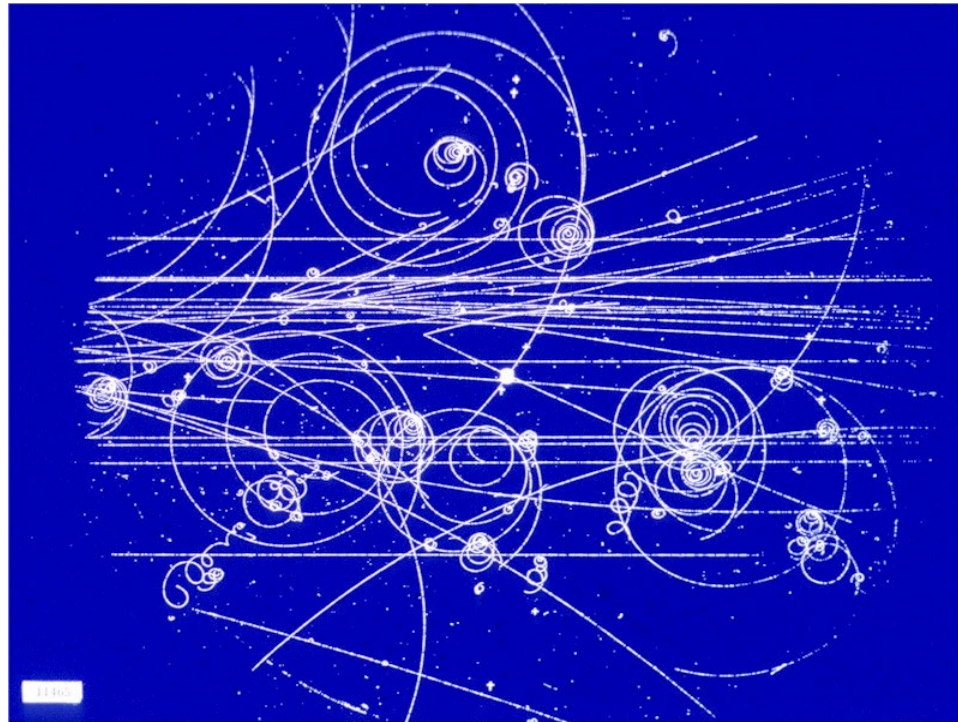


粒子物理学

第 4 章：正负电子湮灭



张雷，车轶旻，南京大学物理学院

Based on M. Thomson's notes

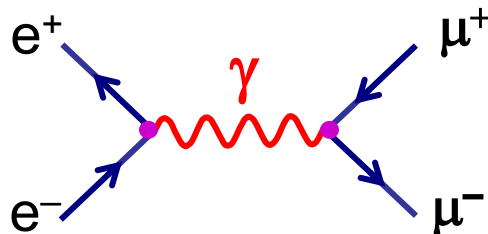
QED Calculations

➤ 如何利用QED计算截面（如： $e^+e^- \rightarrow \mu^+\mu^-$ ）：

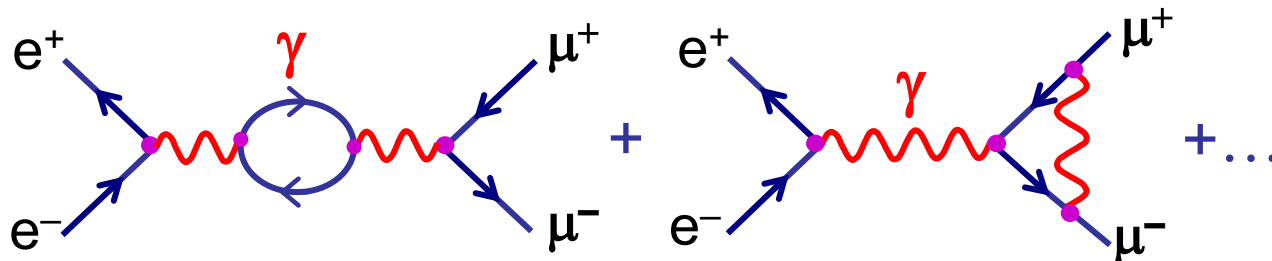
1. 画出所有可能得费曼图

- 对于 $e^+e^- \rightarrow \mu^+\mu^-$ ，
只有一张**最低阶图**

+ 很多 **二阶图** + ...



$$M \propto e^2 \propto \alpha_{em}$$



$$M \propto e^4 \propto \alpha_{em}^2$$

2. 对每张图，利用（上节课的）费曼规则计算ME

3. 对各个ME求和（即，振幅求和）

$$M_{fi} = M_1 + M_2 + M_3 + \dots$$

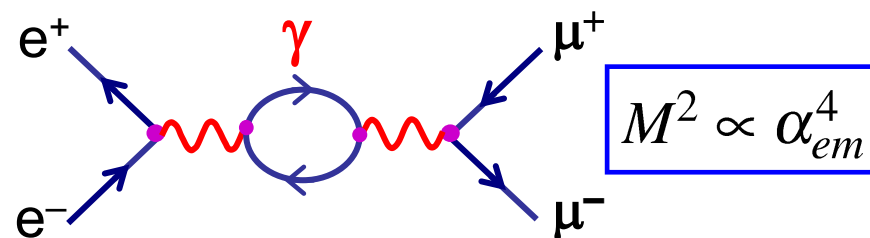
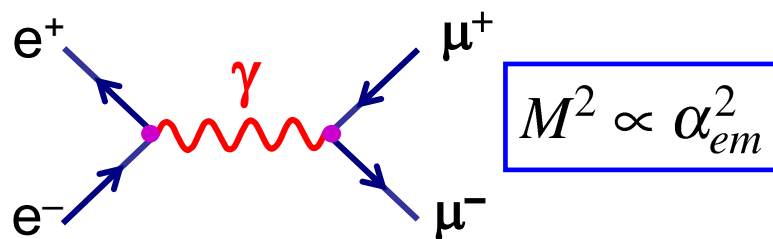
注意：振幅求和导致相同末态的不同图会产生或者正或负的干涉！

QED Calculations

接着平方 $|M_{fi}|^2 = (M_1 + M_2 + M_3 + \dots)(M_1^* + M_2^* + M_3^* + \dots)$

➡ 给出完整的微扰展开 α_{em}

- 对于QED $\alpha_{em} = 1/137$, 最低阶图占主导, 大多数情况可以忽略高阶图



4. 计算衰变率/截面 (利用课程2的公式)

- 例如, 对于衰变:

$$\Gamma = \frac{p^*}{32\pi^2 m_a^2} \int |M_{fi}|^2 d\Omega$$

- 对于质心系的散射

$$\frac{d\sigma}{d\Omega^*} = \frac{1}{64\pi^2 s} \frac{|\vec{p}_f^*|}{|\vec{p}_i^*|} |M_{fi}|^2 \quad (1)$$

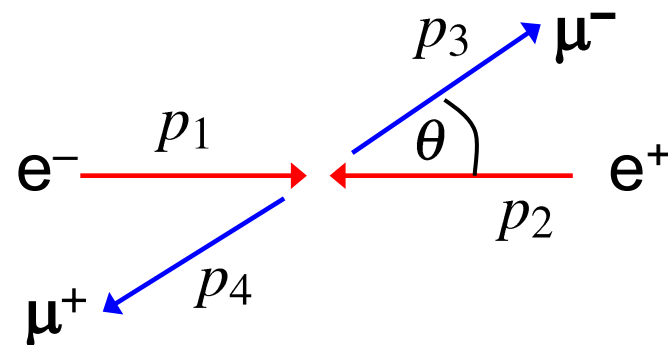
Electron Positron Annihilation

➤ 计算过程 $e^+e^- \rightarrow \mu^+\mu^-$

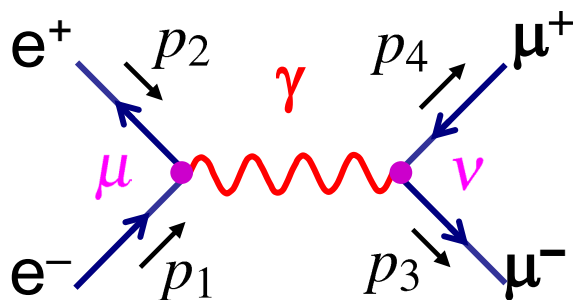
- 选质心系（对于大多数 e^+e^- 对撞机适用）

$$p_1 = (E, 0, 0, p) \quad p_2 = (E, 0, 0, -p)$$

$$p_3 = (E, \vec{p}_f) \quad p_4 = (E, -\vec{p}_f)$$



- 考虑最低阶费曼图：



- 费曼规则给出：

$$-iM = [\bar{v}(p_2)ie\gamma^\mu u(p_1)] \frac{-ig_{\mu\nu}}{q^2} [\bar{u}(p_3)ie\gamma^\nu v(p_4)]$$

NOTE:

- Incoming anti-particle \bar{v}
- Incoming particle u
- Adjoint spinor written first


- 质心系内：

$$\frac{d\sigma}{d\Omega} = \frac{1}{64\pi^2 s} \frac{|\vec{p}_f|}{|\vec{p}_i|} |M_{fi}|^2 \quad \text{其中 } s = (p_1 + p_2)^2 = (E + E)^2 = 4E^2$$

Electron and Muon Currents


- 这里 $q^2 = (p_1 + p_2)^2 = s$

且矩阵元
$$-iM = [\bar{v}(p_2)ie\gamma^\mu u(p_1)] \frac{-ig_{\mu\nu}}{q^2} [\bar{u}(p_3)ie\gamma^\nu v(p_4)]$$


$$M = -\frac{e^2}{s} g_{\mu\nu} [\bar{v}(p_2)\gamma^\mu u(p_1)][\bar{u}(p_3)\gamma^\nu v(p_4)]$$

- 第二节课中引入了四矢量流 $j^\mu = \bar{\psi}\gamma^\mu\psi$ 其在矩阵元中的[]中的两项具有同样的形式
- 矩阵元可以用电子和缪子流来表示

$$(j_e)^\mu = \bar{v}(p_2)\gamma^\mu u(p_1) \quad (j_\mu)^\nu = \bar{u}(p_3)\gamma^\nu v(p_4)$$


$$M = -\frac{e^2}{s} g_{\mu\nu} (j_e)^\mu (j_\mu)^\nu$$

$$M = -\frac{e^2}{s} j_e \cdot j_\mu$$

- 矩阵元是四矢量的标量积 - 体现洛伦兹不变性

Spin in e^+e^- Annihilation

- 一般而言，电子和反电子没有极化，即正负螺旋度态的数量相同
 - 初态有四种可能组合



- 类似，末态也有四种螺旋度态组合。总共16种组合，如 $RL \rightarrow RR, RL \rightarrow RL, \dots$
 - 对所有16个可能螺旋度态组合求和，然后对初态螺旋度数目求平均：

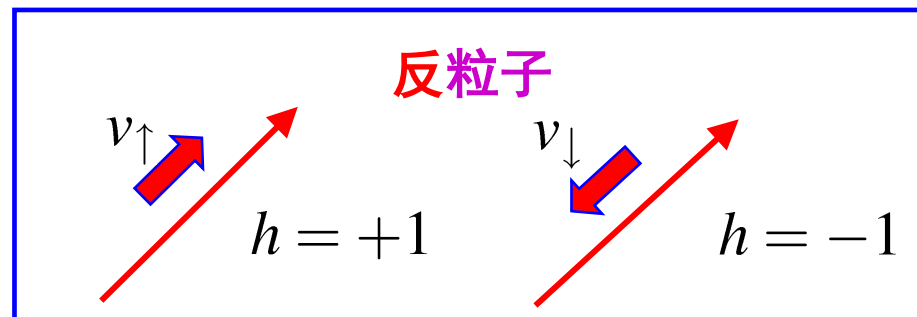
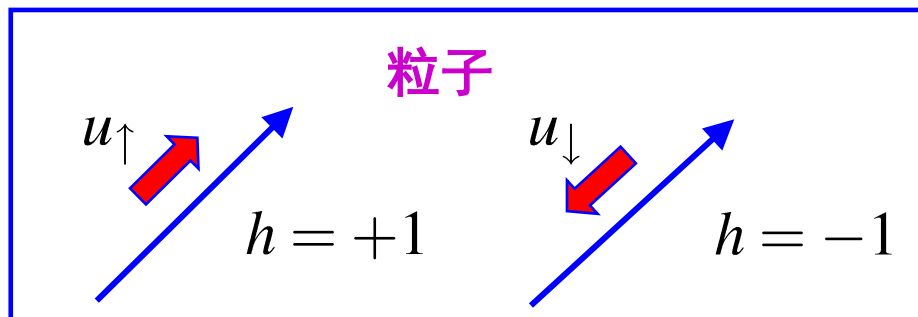
$$\langle |M|^2 \rangle = \frac{1}{4} \sum_{\text{spins}} |M_i|^2 = \frac{1}{4} (|M_{LL \rightarrow LL}|^2 + |M_{LL \rightarrow LR}|^2 + \dots)$$

需要对16个全部的螺旋度组合计算： $M = -\frac{e^2}{s} j_e \cdot j_\mu$

- 在 $E \gg m_\mu$ 的极限下，**其实只有4个**螺旋度组合有非零的矩阵元
 - 这是QED/QCD一个重要的特征

(回顾第二节课) 粒子和反粒子的螺旋度本征态:

$u_{\uparrow} = N \begin{pmatrix} \cos\left(\frac{\theta}{2}\right) \\ e^{i\phi} \sin\left(\frac{\theta}{2}\right) \\ \frac{ \vec{p} }{E+m} \cos\left(\frac{\theta}{2}\right) \\ \frac{ \vec{p} }{E+m} e^{i\phi} \sin\left(\frac{\theta}{2}\right) \end{pmatrix}$	$u_{\downarrow} = N \begin{pmatrix} -\sin\left(\frac{\theta}{2}\right) \\ e^{i\phi} \cos\left(\frac{\theta}{2}\right) \\ \frac{ \vec{p} }{E+m} \sin\left(\frac{\theta}{2}\right) \\ -\frac{ \vec{p} }{E+m} e^{i\phi} \cos\left(\frac{\theta}{2}\right) \end{pmatrix}$
$v_{\uparrow} = N \begin{pmatrix} \frac{ \vec{p} }{E+m} \sin\left(\frac{\theta}{2}\right) \\ -\frac{ \vec{p} }{E+m} e^{i\phi} \cos\left(\frac{\theta}{2}\right) \\ -\sin\left(\frac{\theta}{2}\right) \\ e^{i\phi} \cos\left(\frac{\theta}{2}\right) \end{pmatrix}$	$v_{\downarrow} = N \begin{pmatrix} \frac{ \vec{p} }{E+m} \cos\left(\frac{\theta}{2}\right) \\ \frac{ \vec{p} }{E+m} e^{i\phi} \sin\left(\frac{\theta}{2}\right) \\ \cos\left(\frac{\theta}{2}\right) \\ e^{i\phi} \sin\left(\frac{\theta}{2}\right) \end{pmatrix}$

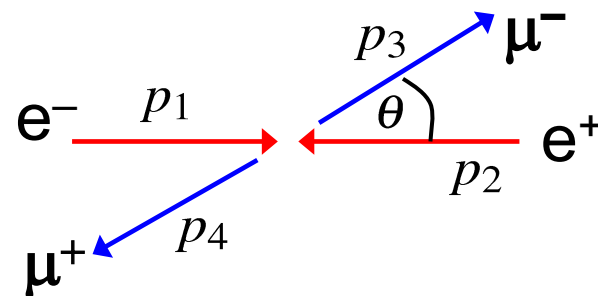


➤ 全部四个态归一化到单位体积 $2E$ 个粒子, 得到 $N = \sqrt{E + m}$

Spin in e^+e^- Annihilation

➤ 质心系 $E \gg m_\mu$ 的极限下

$$\begin{aligned} p_1 &= (E, 0, 0, E); & p_3 &= (E, E \sin \theta, 0, E \cos \theta); \\ p_2 &= (E, 0, 0, -E) & p_4 &= (E, -E \sin \theta, 0, -E \cos \theta) \end{aligned}$$



➤ 正反粒子左手 和 右手 螺旋度旋量

$$u_\uparrow = N \begin{pmatrix} c \\ e^{i\phi} s \\ \frac{|\vec{p}|}{E+m} c \\ \frac{|\vec{p}|}{E+m} e^{i\phi} s \end{pmatrix} \quad u_\downarrow = N \begin{pmatrix} -s \\ e^{i\phi} c \\ \frac{|\vec{p}|}{E+m} s \\ -\frac{|\vec{p}|}{E+m} e^{i\phi} c \end{pmatrix} \quad v_\uparrow = N \begin{pmatrix} \frac{|\vec{p}|}{E+m} s \\ -\frac{|\vec{p}|}{E+m} e^{i\phi} c \\ -s \\ e^{i\phi} c \end{pmatrix} \quad v_\downarrow = N \begin{pmatrix} \frac{|\vec{p}|}{E+m} c \\ \frac{|\vec{p}|}{E+m} e^{i\phi} s \\ c \\ e^{i\phi} s \end{pmatrix}$$

其中 $s = \sin \frac{\theta}{2}$; $c = \cos \frac{\theta}{2}$ 和 $N = \sqrt{E+m}$

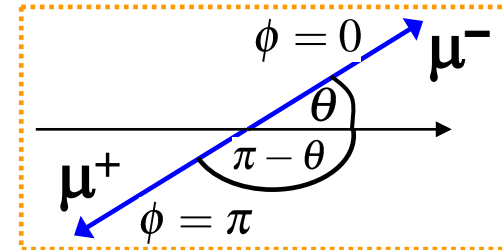
• 考虑 $E \gg m_\mu$ 极限, 得:

$$u_\uparrow = \sqrt{E} \begin{pmatrix} c \\ s e^{i\phi} \\ c \\ s e^{i\phi} \end{pmatrix}; \quad u_\downarrow = \sqrt{E} \begin{pmatrix} -s \\ c e^{i\phi} \\ s \\ -c e^{i\phi} \end{pmatrix}; \quad v_\uparrow = \sqrt{E} \begin{pmatrix} s \\ -c e^{i\phi} \\ -s \\ c e^{i\phi} \end{pmatrix}; \quad v_\downarrow = \sqrt{E} \begin{pmatrix} c \\ s e^{i\phi} \\ c \\ s e^{i\phi} \end{pmatrix}$$

Spin in e^+e^- Annihilation

- 初态电子 e^- 是左手或者右手螺旋度态

$$u_{\uparrow}(p_1) = \sqrt{E} \begin{pmatrix} 1 \\ 0 \\ 1 \\ 0 \end{pmatrix}; u_{\downarrow}(p_1) = \sqrt{E} \begin{pmatrix} 0 \\ 1 \\ 0 \\ -1 \end{pmatrix};$$



- 初态正电子 e^+ ($\theta=\pi$):

$$v_{\uparrow}(p_2) = \sqrt{E} \begin{pmatrix} 1 \\ 0 \\ -1 \\ 0 \end{pmatrix}; v_{\downarrow}(p_2) = \sqrt{E} \begin{pmatrix} 0 \\ 1 \\ 0 \\ 1 \end{pmatrix}$$

- 设末态 μ^- 极化角 θ , 选 $\phi=0$

$$u_{\uparrow}(p_3) = \sqrt{E} \begin{pmatrix} c \\ s \\ c \\ s \end{pmatrix}; u_{\downarrow}(p_3) = \sqrt{E} \begin{pmatrix} -s \\ c \\ s \\ -c \end{pmatrix};$$

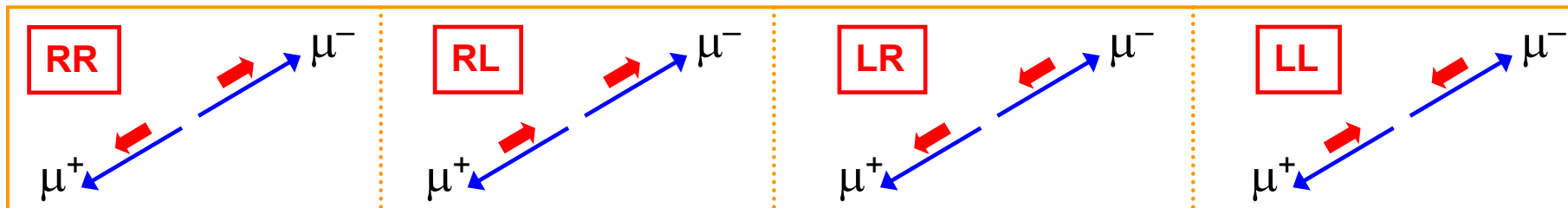
- 并且对末态的 μ^+ 做替换: $\theta \rightarrow \pi - \theta$; $\phi \rightarrow \pi$ 得到

$$v_{\uparrow}(p_4) = \sqrt{E} \begin{pmatrix} c \\ s \\ -c \\ -s \end{pmatrix}; v_{\downarrow}(p_4) = \sqrt{E} \begin{pmatrix} s \\ -c \\ s \\ -c \end{pmatrix}; \left\{ \begin{array}{l} \text{利用 } \sin\left(\frac{\pi-\theta}{2}\right) = \cos\frac{\theta}{2} \\ \cos\left(\frac{\pi-\theta}{2}\right) = \sin\frac{\theta}{2} \\ e^{i\pi} = -1 \end{array} \right.$$

Spin in e^+e^- Annihilation

目标：计算矩阵元 $M = -\frac{e^2}{s} j_e \cdot j_\mu$

➤ 首先考虑缪子流 j_μ 的四种可能得螺旋度组合



复习： γ -matrices (Dirac–Pauli representation)

$$\gamma^0 = \begin{pmatrix} 1 & 0 & 0 & 0 \\ 0 & 1 & 0 & 0 \\ 0 & 0 & -1 & 0 \\ 0 & 0 & 0 & -1 \end{pmatrix}, \quad \gamma^1 = \begin{pmatrix} 0 & 0 & 0 & 1 \\ 0 & 0 & 1 & 0 \\ 0 & -1 & 0 & 0 \\ -1 & 0 & 0 & 0 \end{pmatrix}, \quad \gamma^2 = \begin{pmatrix} 0 & 0 & 0 & -i \\ 0 & 0 & i & 0 \\ 0 & i & 0 & 0 \\ -i & 0 & 0 & 0 \end{pmatrix}, \quad \gamma^3 = \begin{pmatrix} 0 & 0 & 1 & 0 \\ 0 & 0 & 0 & -1 \\ -1 & 0 & 0 & 0 \\ 0 & 1 & 0 & 0 \end{pmatrix}.$$

复习：Helicity spinors

$$u_\uparrow(p) = N \begin{pmatrix} c \\ se^{i\phi} \\ \frac{p}{E+m}c \\ \frac{p}{E+m}se^{i\phi} \end{pmatrix}, \quad u_\downarrow(p) = N \begin{pmatrix} -s \\ ce^{i\phi} \\ \frac{p}{E+m}s \\ -\frac{p}{E+m}ce^{i\phi} \end{pmatrix}, \quad v_\uparrow(p) = N \begin{pmatrix} \frac{p}{E+m}s \\ -\frac{p}{E+m}ce^{i\phi} \\ -s \\ ce^{i\phi} \end{pmatrix}, \quad v_\downarrow(p) = N \begin{pmatrix} \frac{p}{E+m}c \\ \frac{p}{E+m}se^{i\phi} \\ c \\ se^{i\phi} \end{pmatrix}$$

Muon Current

- 对4种螺旋度组合估算 $(j_\mu)^\nu = \bar{u}(p_3)\gamma^\nu v(p_4)$
- 对任意的旋量 ψ, ϕ 很容易知道 $\bar{\psi}\gamma^\mu\phi$ 的各个成分是

$$\bar{\psi}\gamma^0\phi = \psi^\dagger\gamma^0\gamma^0\phi = \psi_1^*\phi_1 + \psi_2^*\phi_2 + \psi_3^*\phi_3 + \psi_4^*\phi_4 \quad (3)$$

$$\bar{\psi}\gamma^1\phi = \psi^\dagger\gamma^0\gamma^1\phi = \psi_1^*\phi_4 + \psi_2^*\phi_3 + \psi_3^*\phi_2 + \psi_4^*\phi_1 \quad (4)$$

$$\bar{\psi}\gamma^2\phi = \psi^\dagger\gamma^0\gamma^2\phi = -i(\psi_1^*\phi_4 - \psi_2^*\phi_3 + \psi_3^*\phi_2 - \psi_4^*\phi_1) \quad (5)$$

$$\bar{\psi}\gamma^3\phi = \psi^\dagger\gamma^0\gamma^3\phi = \psi_1^*\phi_3 - \psi_2^*\phi_4 + \psi_3^*\phi_1 - \psi_4^*\phi_2 \quad (6)$$

- 考虑组合 $\mu_R^-\mu_L^+$ 并利用 $\psi = u_\uparrow$ $\phi = v_\downarrow$ 其中 $v_\downarrow = \sqrt{E} \begin{pmatrix} s \\ -c \\ s \\ -c \end{pmatrix}$; $u_\uparrow = \sqrt{E} \begin{pmatrix} c \\ s \\ c \\ s \end{pmatrix}$;

$$\bar{u}_\uparrow(p_3)\gamma^0v_\downarrow(p_4) = E(cs - sc + cs - sc) = 0$$

$$\bar{u}_\uparrow(p_3)\gamma^1v_\downarrow(p_4) = E(-c^2 + s^2 - c^2 + s^2) = 2E(s^2 - c^2) = -2E \cos \theta$$

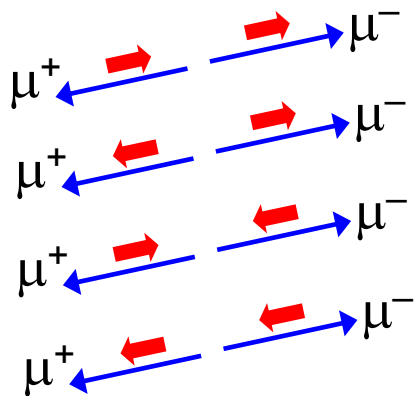
$$\bar{u}_\uparrow(p_3)\gamma^2v_\downarrow(p_4) = -iE(-c^2 - s^2 - c^2 - s^2) = 2iE$$

$$\bar{u}_\uparrow(p_3)\gamma^3v_\downarrow(p_4) = E(cs + sc + cs + sc) = 4Esc = 2E \sin \theta$$



Muon Current

- 因此，**RL**组合的缪子四矢量流为： $\bar{u}_{\uparrow}(p_3)\gamma^{\nu}v_{\downarrow}(p_4) = 2E(0, -\cos\theta, i, \sin\theta)$
- (同样方法得到) 4种螺旋度组合的结果：



$$\bar{u}_{\uparrow}(p_3)\gamma^{\nu}v_{\downarrow}(p_4) = 2E(0, -\cos\theta, i, \sin\theta)$$

RL

$$\bar{u}_{\uparrow}(p_3)\gamma^{\nu}v_{\uparrow}(p_4) = (0, 0, 0, 0)$$

RR

$$\bar{u}_{\downarrow}(p_3)\gamma^{\nu}v_{\downarrow}(p_4) = (0, 0, 0, 0)$$

LL

$$\bar{u}_{\downarrow}(p_3)\gamma^{\nu}v_{\uparrow}(p_4) = 2E(0, -\cos\theta, -i, \sin\theta)$$

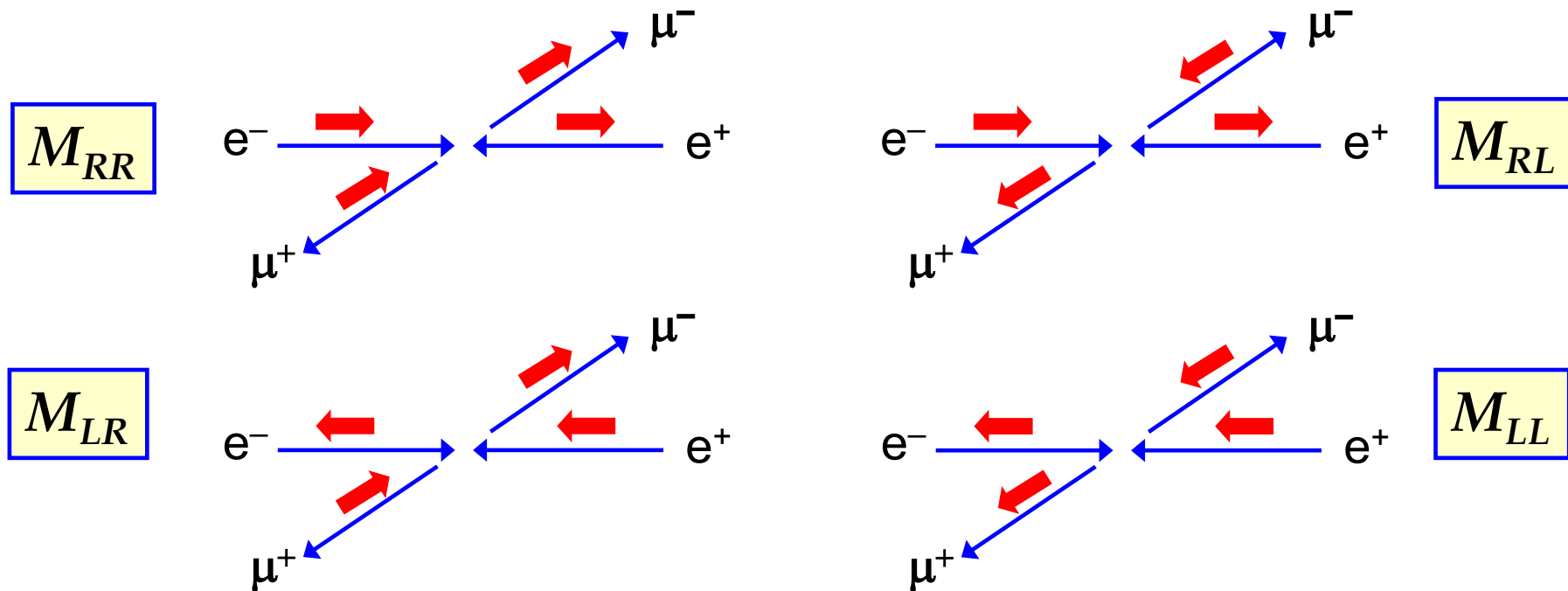
LR

➤ $E \gg m$ 的极限下，只有2种螺旋度组合非零！

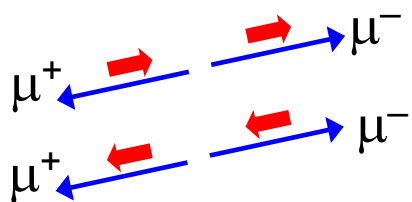
- QED重要的特征，同样适用于QCD。
- 弱相互作用中，只有1个螺旋度组合有贡献。后面会讨论手征起源
- 因此，16个螺旋度组合中，只有4个有非零矩阵元

Electron Positron Annihilation cont.

- 对于 $ee^- \rightarrow \mu^+\mu^-$ 现在只需要考虑4个矩阵元 (R,L代表e- mu-的helicity)



- 之前，推导出了允许螺旋度组合的缪子流：



$$\begin{aligned}
 \mu_R^- \mu_L^+ : \quad & \bar{u}_\uparrow(p_3) \gamma^\nu v_\downarrow(p_4) = 2E(0, -\cos\theta, i, \sin\theta) \\
 \mu_L^- \mu_R^+ : \quad & \bar{u}_\downarrow(p_3) \gamma^\nu v_\uparrow(p_4) = 2E(0, -\cos\theta, -i, \sin\theta)
 \end{aligned}$$

- 现在需要考虑电子流

Electron Current

- 入射电子和正电子旋量 (L 和 R 螺旋度):

$$u_{\uparrow} = \sqrt{E} \begin{pmatrix} 1 \\ 0 \\ 1 \\ 0 \end{pmatrix}; u_{\downarrow} = \sqrt{E} \begin{pmatrix} 0 \\ 1 \\ 0 \\ -1 \end{pmatrix}; v_{\uparrow} = \sqrt{E} \begin{pmatrix} 1 \\ 0 \\ -1 \\ 0 \end{pmatrix}; v_{\downarrow} = \sqrt{E} \begin{pmatrix} 0 \\ 1 \\ 0 \\ 1 \end{pmatrix}$$

- 电子流要么以前一样通过方程 (3)-(6) 得到, 要么直接从缪子流的表达式得到

$$(j_e)^\mu = \bar{v}(p_2) \gamma^\mu u(p_1) \quad \longleftrightarrow \quad (j_\mu)^\mu = \bar{u}(p_3) \gamma^\mu v(p_4)$$

• 提醒: 矩阵元为 $-iM = [\bar{v}(p_2) i e \gamma^\mu u(p_1)] \frac{-i g_{\mu\nu}}{q^2} [\bar{u}(p_3) i e \gamma^\nu v(p_4)]$

➤ 缪子流做厄米共轭得到

$$\begin{aligned} [\bar{u}(p_3) \gamma^\mu v(p_4)]^\dagger &= [u(p_3)^\dagger \gamma^0 \gamma^\mu v(p_4)]^\dagger \\ &= v(p_4)^\dagger \gamma^{\mu\dagger} \gamma^{0\dagger} u(p_3) \\ &= v(p_4)^\dagger \gamma^{\mu\dagger} \gamma^0 u(p_3) \\ &= v(p_4)^\dagger \gamma^0 \gamma^\mu u(p_3) \\ &= \bar{v}(p_4) \gamma^\mu u(p_3) \end{aligned}$$

$$(AB)^\dagger = B^\dagger A^\dagger$$

$$\gamma^{0\dagger} = \gamma^0$$

$$\gamma^{\mu\dagger} \gamma^0 = \gamma^0 \gamma^\mu$$

Electron Current

- 缪子流的两个非零螺旋度组合的复共轭（dagger等于*，3对1，theta=0）

$$\bar{v}_{\downarrow}(p_4)\gamma^{\mu}u_{\uparrow}(p_3) = [\bar{u}_{\uparrow}(p_3)\gamma^{\nu}v_{\downarrow}(p_4)]^* = 2E(0, -\cos\theta, -i, \sin\theta)$$

$$\bar{v}_{\uparrow}(p_4)\gamma^{\mu}u_{\downarrow}(p_3) = [\bar{u}_{\downarrow}(p_3)\gamma^{\nu}v_{\uparrow}(p_4)]^* = 2E(0, -\cos\theta, i, \sin\theta)$$

为得到电子流，我们设 $\theta=0$

$$e^- \xrightarrow{\text{red}} \xleftarrow{\text{red}} e^+$$

$$e^- \xleftarrow{\text{red}} \xrightarrow{\text{red}} e^+$$

$$e_R^- e_L^+ : \quad \bar{v}_{\downarrow}(p_2)\gamma^{\nu}u_{\uparrow}(p_1) = 2E(0, -1, -i, 0)$$

$$e_L^- e_R^+ : \quad \bar{v}_{\uparrow}(p_2)\gamma^{\nu}u_{\downarrow}(p_1) = 2E(0, -1, i, 0)$$

把所有流都写在这里！

$$\begin{array}{l} \mu^+ \xrightarrow{\text{red}} \xrightarrow{\text{red}} \mu^- \\ \mu^+ \xleftarrow{\text{red}} \xleftarrow{\text{red}} \mu^- \end{array}$$

$$\mu_R^- \mu_L^+ : \quad \bar{u}_{\uparrow}(p_3)\gamma^{\nu}v_{\downarrow}(p_4) = 2E(0, -\cos\theta, i, \sin\theta)$$

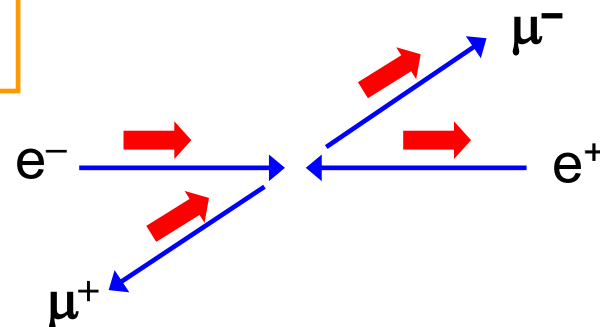
$$\mu_L^- \mu_R^+ : \quad \bar{u}_{\downarrow}(p_3)\gamma^{\nu}v_{\uparrow}(p_4) = 2E(0, -\cos\theta, -i, \sin\theta)$$

Matrix Element Calculation

- 对四种螺旋度组合，计算 $M = -\frac{e^2}{s} j_e \cdot j_\mu$

例如 $e_R^- e_L^+ \rightarrow \mu_R^- \mu_L^+$ 的矩阵元被记作: M_{RR}

- 第一下标为 e^- 螺旋度，第二为 μ^- 的螺旋度
- 由于“螺旋度守恒”不需要指明另外一个
- 仅有特定的手征(Chiral)组合才非零



利用:

$$e_R^- e_L^+ : (j_e)^\mu = \bar{v}_\downarrow(p_2) \gamma^\mu u_\uparrow(p_1) = 2E(0, -1, -i, 0)$$

$$\mu_R^- \mu_L^+ : (j_\mu)^\nu = \bar{u}_\uparrow(p_3) \gamma^\nu v_\downarrow(p_4) = 2E(0, -\cos \theta, i, \sin \theta)$$

得

$$M_{RR} = -\frac{e^2}{s} [2E(0, -1, -i, 0)] \cdot [2E(0, -\cos \theta, i, \sin \theta)]$$

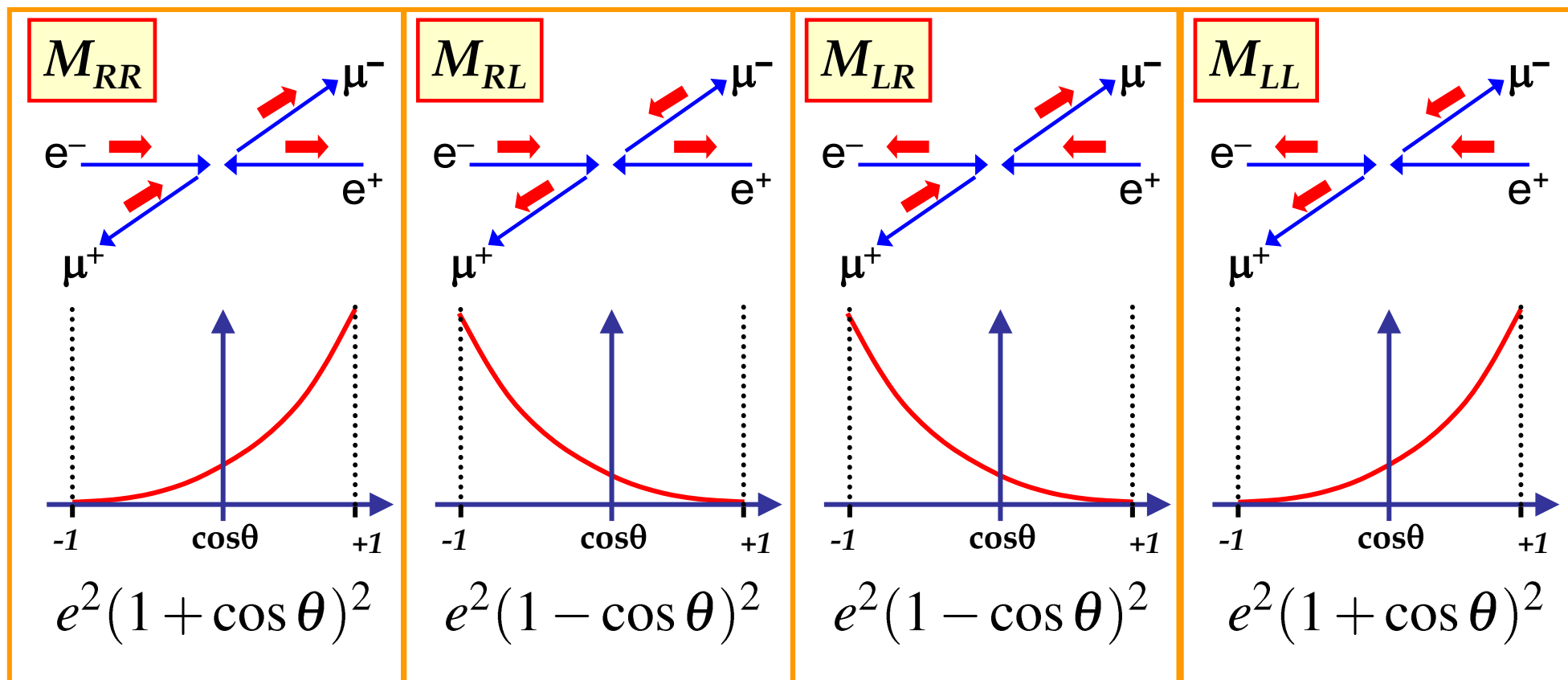
$$= -e^2(1 + \cos \theta)$$

$$= -4\pi\alpha(1 + \cos \theta)$$

where $\alpha = e^2/4\pi \approx 1/137$

Matrix Element Calculation

- 类似得 $|M_{RR}|^2 = |M_{LL}|^2 = (4\pi\alpha)^2(1 + \cos\theta)^2$
 $|M_{RL}|^2 = |M_{LR}|^2 = (4\pi\alpha)^2(1 - \cos\theta)^2$



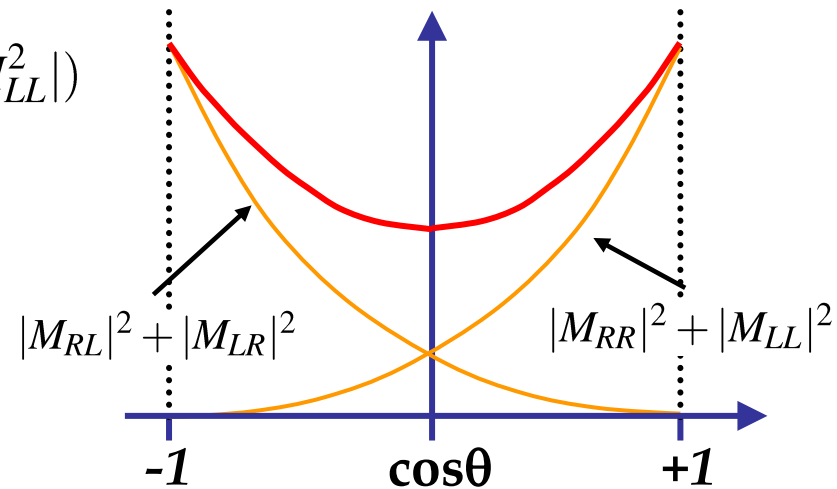
- 下一步：假设入射电子和正电子没有极化，初态四种可能的螺旋度态几率相同

Differential Cross Section

- 初态自旋求平均，末态自旋求和，从而得到截面：

$$\begin{aligned}\frac{d\sigma}{d\Omega} &= \frac{1}{4} \times \frac{1}{64\pi^2 s} (|M_{RR}|^2 + |M_{RL}|^2 + |M_{LR}|^2 + |M_{LL}|^2) \\ &= \frac{(4\pi\alpha)^2}{256\pi^2 s} (2(1 + \cos\theta)^2 + 2(1 - \cos\theta)^2)\end{aligned}$$

➔
$$\frac{d\sigma}{d\Omega} = \frac{\alpha^2}{4s} (1 + \cos^2\theta)$$

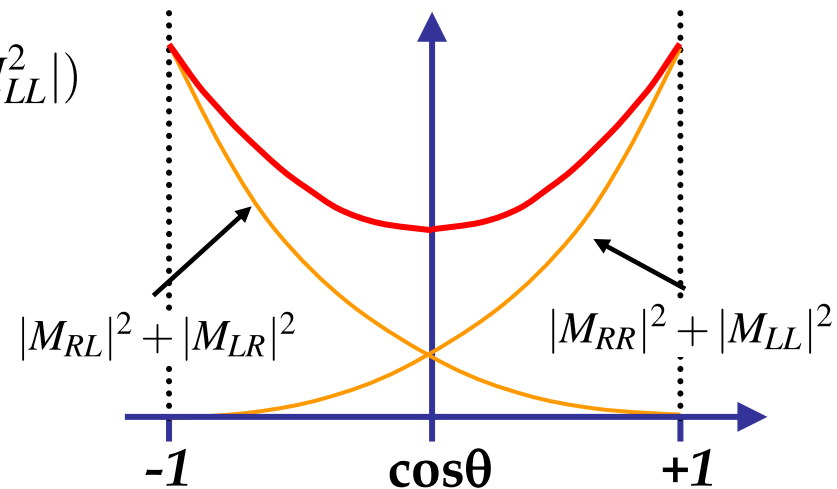


Differential Cross Section

- 初态自旋求平均，末态自旋求和，从而得到截面：

$$\begin{aligned}\frac{d\sigma}{d\Omega} &= \frac{1}{4} \times \frac{1}{64\pi^2 s} (|M_{RR}|^2 + |M_{RL}|^2 + |M_{LR}|^2 + |M_{LL}|^2) \\ &= \frac{(4\pi\alpha)^2}{256\pi^2 s} (2(1 + \cos\theta)^2 + 2(1 - \cos\theta)^2)\end{aligned}$$

➔
$$\frac{d\sigma}{d\Omega} = \frac{\alpha^2}{4s} (1 + \cos^2\theta)$$



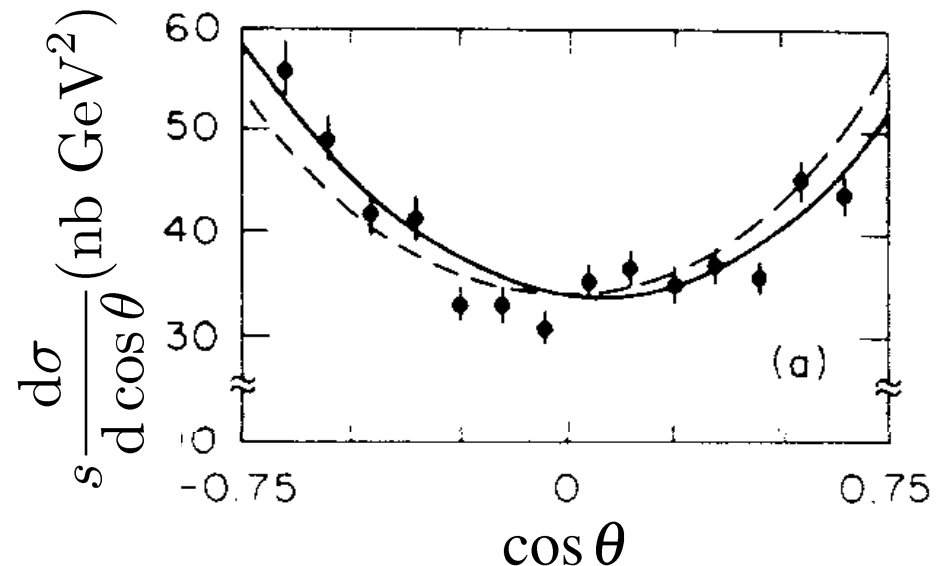
Example:

$$e^+e^- \rightarrow \mu^+\mu^- \quad \sqrt{s} = 29 \text{ GeV}$$

----- pure QED, $O(\alpha^3)$

———— QED plus Z contribution

- 在高阶QED中或者引入Z玻色子的贡献时，角分布变得稍微不对称



Total Cross Section

- 总截面通过对 θ, ϕ 积分得到

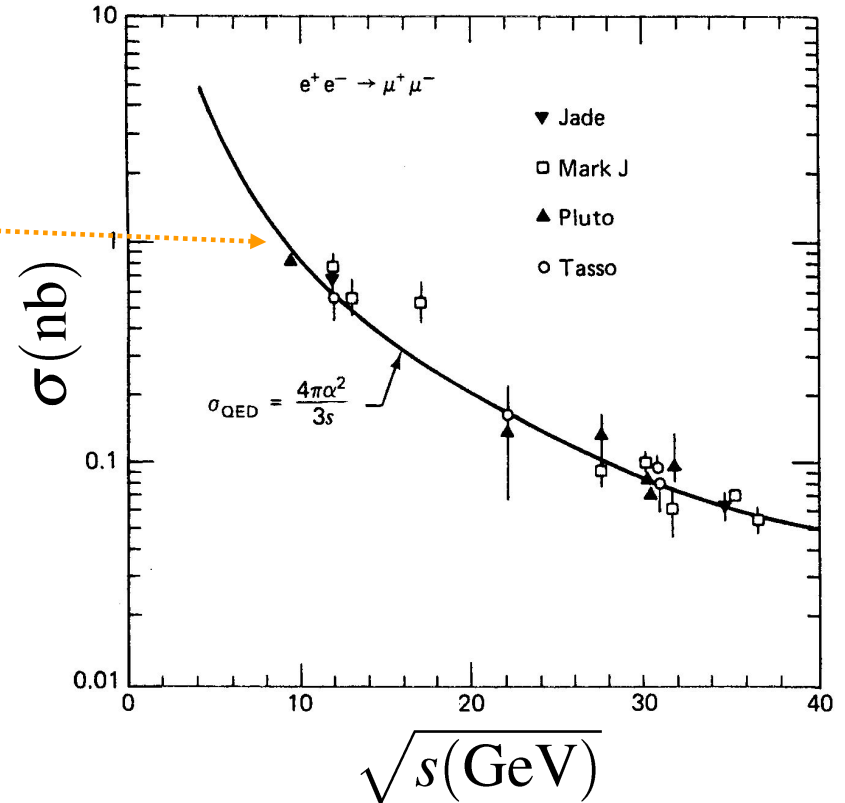
$$\int (1 + \cos^2 \theta) d\Omega = 2\pi \int_{-1}^{+1} (1 + \cos^2 \theta) d\cos \theta = \frac{16\pi}{3}$$

给出 $e^+e^- \rightarrow \mu^+\mu^-$ 过程的 **QED** 总截面

$$\sigma = \frac{4\pi\alpha^2}{3s}$$

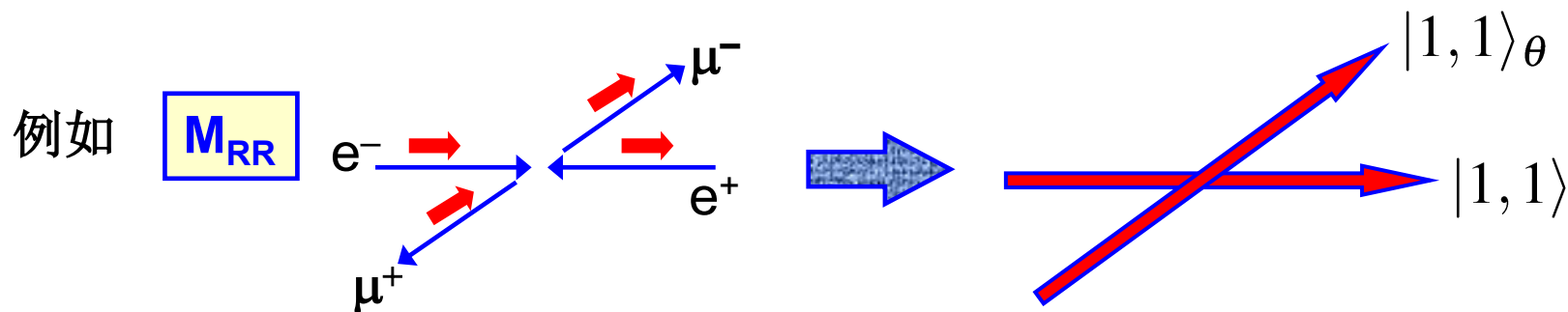
- 最低阶截面就可以很好地描述实验数据

我们从第一性原理出发得到**1%**精度的正反电子湮灭的截面



(optional) Spin Considerations ($E \gg m$)

- QED 正反电子矩阵元的角度依赖可以通过角动量来理解
 - 由于允许的螺旋度态，正反电子相互作用的自旋态为 $S_z = \pm 1$,
 - 即，总自旋为 1 态延z轴: $|1, +1\rangle$ 或 $|1, -1\rangle$
 - 类似地，缪子和反缪子产自一个总自旋为1且延极化角 θ 的态



- 因此 $M_{RR} \propto \langle \psi | 1, 1 \rangle$, 这里 ψ 对于缪子对的自旋态 $|1, 1\rangle_\theta$

$|1, 1\rangle_\theta$ 被表达成 S_z 的本征态

详见附录 (和 QM)

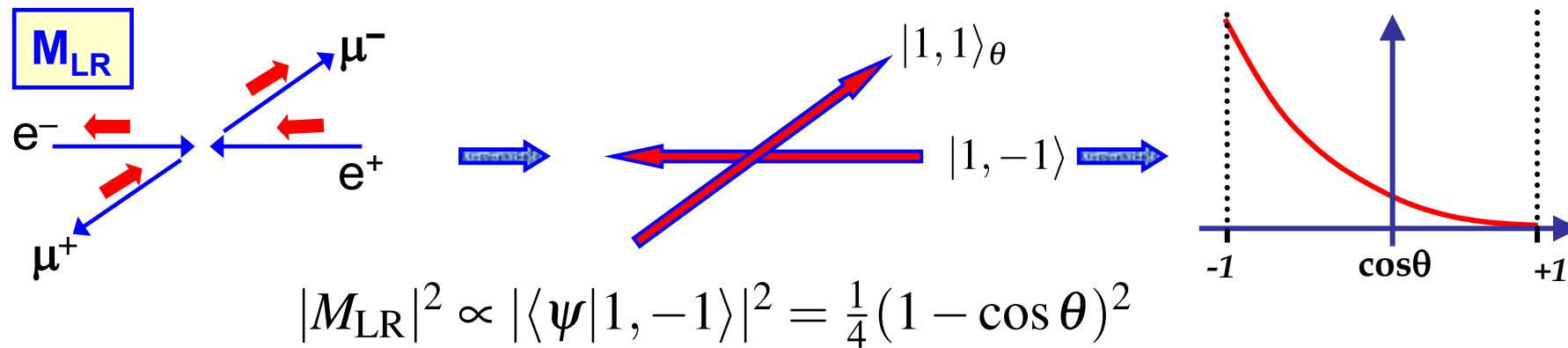
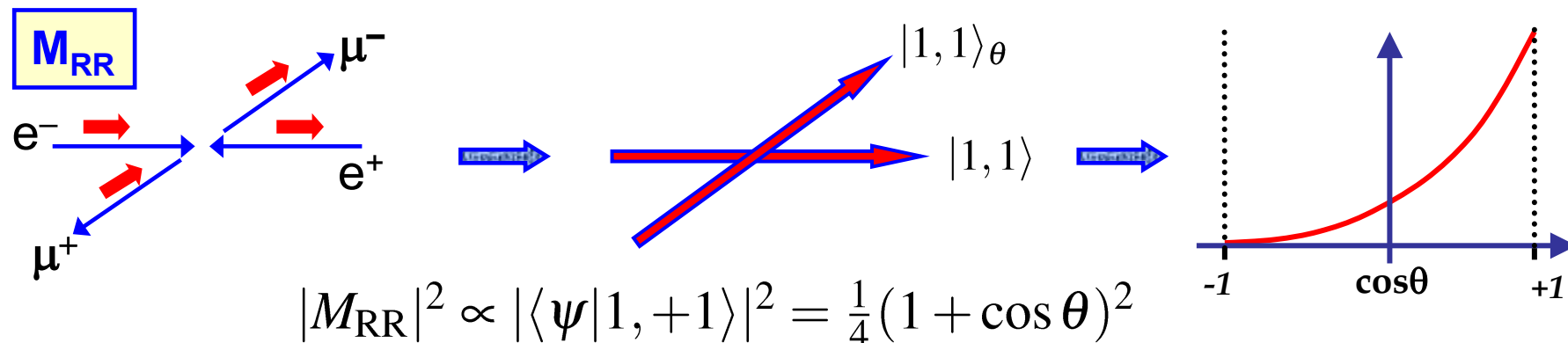
$$|1, 1\rangle_\theta = \frac{1}{2}(1 - \cos \theta)|1, -1\rangle + \frac{1}{\sqrt{2}} \sin \theta |1, 0\rangle + \frac{1}{2}(1 + \cos \theta)|1, +1\rangle$$

(optional) Spin Considerations ($E \gg m$)

- 利用自旋为1且与轴夹角 θ 的态的波函数

$$\psi = |1, 1\rangle_\theta = \frac{1}{2}(1 - \cos \theta)|1, -1\rangle + \frac{1}{\sqrt{2}} \sin \theta |1, 0\rangle + \frac{1}{2}(1 + \cos \theta)|1, +1\rangle$$

能立即理解角度依赖



Lorentz Invariant form of Matrix Element

- 自旋平均的矩阵元表达为缪子在质心系的角度 $\langle |M_{fi}|^2 \rangle = e^4(1 + \cos^2 \theta)$
- 矩阵元 **洛伦兹不变**（四矢量流的标量积）即，坐标系无关的表达形式
 - 在质心系 $p_1 = (E, 0, 0, E)$ $p_2 = (E, 0, 0, -E)$
 $p_3 = (E, E \sin \theta, 0, E \cos \theta)$ $p_4 = (E, -E \sin \theta, 0, -E \cos \theta)$
得到: $p_1 \cdot p_2 = 2E^2$; $p_1 \cdot p_3 = E^2(1 - \cos \theta)$; $p_1 \cdot p_4 = E^2(1 + \cos \theta)$

- 可以写出
(证明略去)

$$\langle |M_{fi}|^2 \rangle = 2e^4 \frac{(p_1 \cdot p_3)^2 + (p_1 \cdot p_4)^2}{(p_1 \cdot p_2)^2}$$

$$\equiv 2e^4 \left(\frac{t^2 + u^2}{s^2} \right)$$

★Valid in any frame !

CHIRALITY

- $E \gg m$ 时, 正反粒子的螺旋度本征态: 其中 $s = \sin \frac{\theta}{2}$; $c = \cos \frac{\theta}{2}$
- $$u_{\uparrow} = \sqrt{E} \begin{pmatrix} c \\ se^{i\phi} \\ c \\ se^{i\phi} \end{pmatrix}; u_{\downarrow} = \sqrt{E} \begin{pmatrix} -s \\ ce^{i\phi} \\ s \\ -ce^{i\phi} \end{pmatrix}; v_{\uparrow} = \sqrt{E} \begin{pmatrix} s \\ -ce^{i\phi} \\ -s \\ ce^{i\phi} \end{pmatrix}; v_{\downarrow} = \sqrt{E} \begin{pmatrix} c \\ se^{i\phi} \\ c \\ se^{i\phi} \end{pmatrix}$$

定义矩阵

$$\gamma^5 \equiv i\gamma^0\gamma^1\gamma^2\gamma^3 = \begin{pmatrix} 0 & 0 & 1 & 0 \\ 0 & 0 & 0 & 1 \\ 1 & 0 & 0 & 0 \\ 0 & 1 & 0 & 0 \end{pmatrix} = \begin{pmatrix} 0 & I \\ I & 0 \end{pmatrix}$$

- $E \gg m$ 极限, 螺旋度态也是 γ^5 的本征态

$$\gamma^5 u_{\uparrow} = +u_{\uparrow}; \quad \gamma^5 u_{\downarrow} = -u_{\downarrow}; \quad \gamma^5 v_{\uparrow} = -v_{\uparrow}; \quad \gamma^5 v_{\downarrow} = +v_{\downarrow}$$

➤ 定义 γ^5 本征态为左手和右手的手征态 (CHIRAL): u_R, u_L, v_R, v_L

i.e. $\gamma^5 u_R = +u_R; \quad \gamma^5 u_L = -u_L; \quad \gamma^5 v_R = -v_R; \quad \gamma^5 v_L = +v_L$

- 在 $E \gg m$ 极限下 (且仅在此极限下): $u_R \equiv u_{\uparrow}; \quad u_L \equiv u_{\downarrow};$
 $v_R \equiv v_{\uparrow}; \quad v_L \equiv v_{\downarrow}$

CHIRALITY

注意

- 手征是QED以及任何 $\bar{u}\gamma^\nu u$ 形式相互作用的一个重要概念
- 一般而言，螺旋度和手征本征态并不相同，只在相对论极限下手征本征态对应螺旋度的

- 手征算符本征态的普遍定义为：

$$\gamma^5 u_R = +u_R; \quad \gamma^5 u_L = -u_L; \quad \gamma^5 v_R = -v_R; \quad \gamma^5 v_L = +v_L$$

- 定义投影算符：

$$P_R = \frac{1}{2}(1 + \gamma^5); \quad P_L = \frac{1}{2}(1 - \gamma^5)$$

投影出手征本征态

$$\begin{aligned} P_R u_R &= u_R; & P_R u_L &= 0; & P_L u_R &= 0; & P_L u_L &= u_L \\ P_R v_R &= 0; & P_R v_L &= v_L; & P_L v_R &= v_R; & P_L v_L &= 0 \end{aligned}$$

- 注意 P_R 投影出右手粒子态和左手反粒子态

- 任意旋量都可以写成左手和右手的手征分量

$$\psi = \psi_R + \psi_L = \frac{1}{2}(1 + \gamma^5)\psi + \frac{1}{2}(1 - \gamma^5)\psi$$

Chirality in QED

- QED中费米子和光子的基本相互作用:

旋量分解为左手和右手的手征分量

$$\begin{aligned} ie\bar{\psi}\gamma^\mu\phi &= ie(\bar{\psi}_L + \bar{\psi}_R)\gamma^\mu(\phi_R + \phi_L) \\ &= ie(\bar{\psi}_R\gamma^\mu\phi_R + \bar{\psi}_R\gamma^\mu\phi_L + \bar{\psi}_L\gamma^\mu\phi_R + \bar{\psi}_L\gamma^\mu\phi_L) \end{aligned}$$

- 利用 γ^5 的性质

$$(\gamma^5)^2 = 1; \quad \gamma^{5\dagger} = \gamma^5; \quad \gamma^5\gamma^\mu = -\gamma^\mu\gamma^5$$

直接得到 $\bar{\psi}_R\gamma^\mu\phi_L = 0; \quad \bar{\psi}_L\gamma^\mu\phi_R = 0$

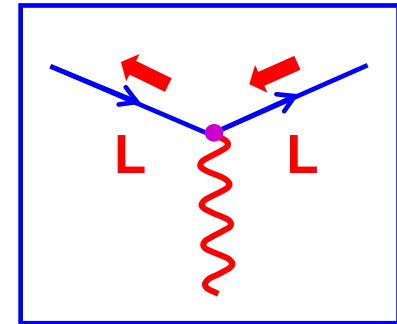
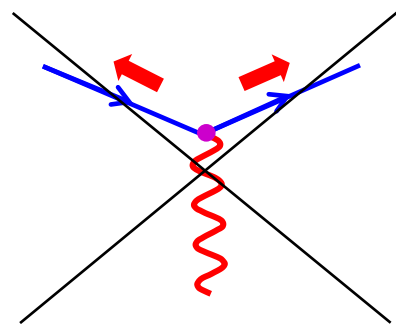
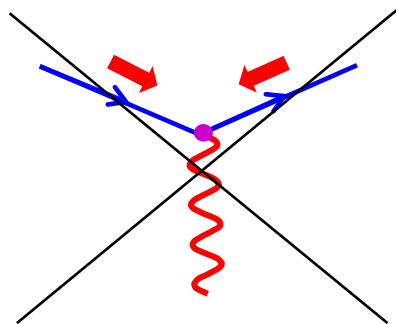
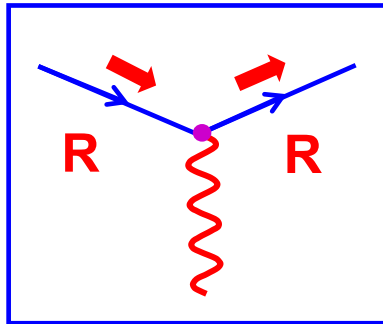
- 因此只有特定组合的手征态对相互作用有贡献。此结论永远成立!
- $E \gg m$ 极限, 手征与螺旋度的本征态等价
 - 这说明 $E \gg m$ 时, 只有特定螺旋度组合对 QED 顶角有贡献!
 - This is why previously two of four helicity combinations for muon current were zero

Allowed QED Helicity Combinations

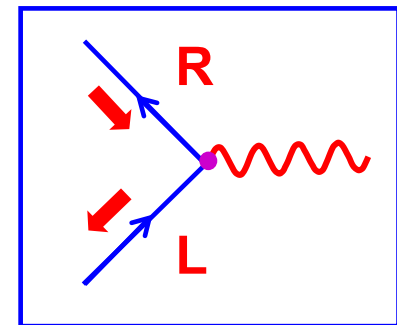
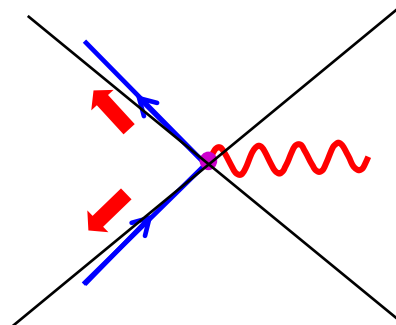
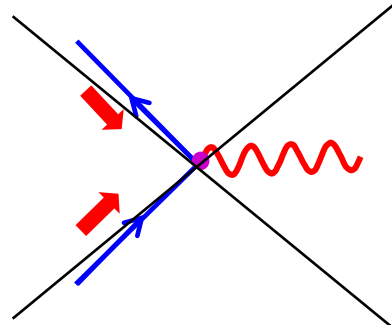
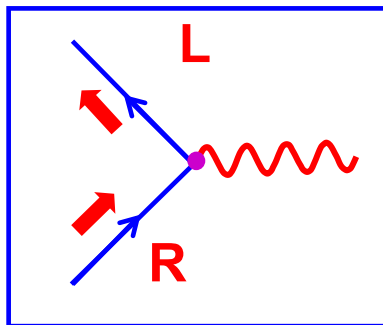
- ♦ In ultra-relativistic limit the helicity eigenstates \equiv chiral eigenstates
- ♦ In this limit, the only non-zero **helicity** combinations in QED are:

Scattering:

“Helicity conservation”



Annihilation:



Summary

- 在质心系 $e^+e^- \rightarrow \mu^+\mu^-$ 的微分截面：
$$\frac{d\sigma}{d\Omega} = \frac{\alpha^2}{4s} (1 + \cos^2 \theta)$$

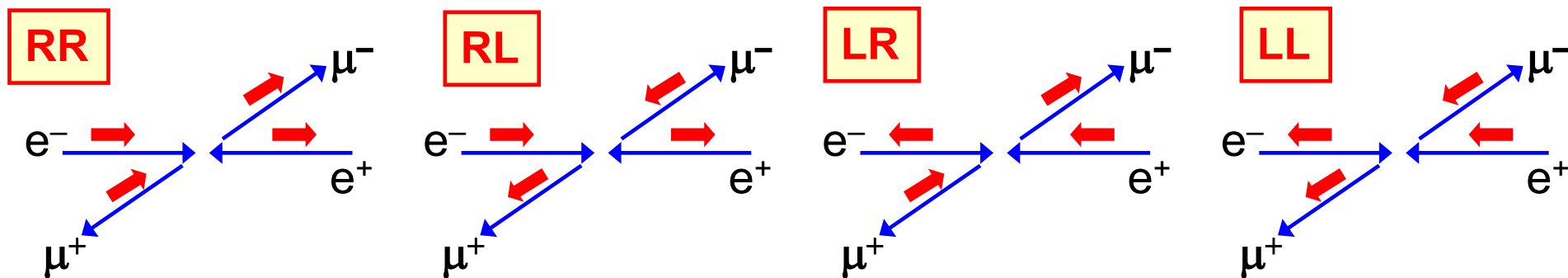
注意：忽略缪子质量，即假设 $E \gg m_\mu$

- 在 QED 中，只有特定左手和右手手征态组合会给出非零的矩阵元

- 通过手征投影算符定义手征态 $P_R = \frac{1}{2}(1 + \gamma^5); \quad P_L = \frac{1}{2}(1 - \gamma^5)$

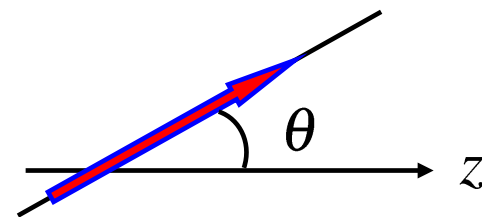
- $E \gg m$ 极限，手征本征态与螺旋度本征态对应

- 只有特定螺旋度组合会给出非零的矩阵元



Appendix : Spin 1 Rotation Matrices

- 考虑自旋为1态,
其自旋+1方向延单位矢量: $\vec{n} = (\sin \theta, 0, \cos \theta)$



- 自旋态是 $\vec{n} \cdot \vec{S}$ 的本征态, 本征值为 +1 $(\vec{n} \cdot \vec{S})|\psi\rangle = +1|\psi\rangle$ (A1)
- 表达成自旋为1态的
 S_z 本征态的线性组合 $|\psi\rangle = \alpha|1, 1\rangle + \beta|1, 0\rangle + \gamma|1, -1\rangle$ 其中 $\alpha^2 + \beta^2 + \gamma^2 = 1$
- (A1) 变成 $(\sin \theta S_x + \cos \theta S_z)(\alpha|1, 1\rangle + \beta|1, 0\rangle + \gamma|1, -1\rangle)$
 $= \alpha|1, 1\rangle + \beta|1, 0\rangle + \gamma|1, -1\rangle$ (A2)
- S_x 写成梯形算符 $S_x = \frac{1}{2}(S_+ + S_-)$
其中 $S_+|1, 1\rangle = 0$ $S_+|1, 0\rangle = \sqrt{2}|1, 1\rangle$ $S_+|1, -1\rangle = \sqrt{2}|1, 0\rangle$
 $S_-|1, 1\rangle = \sqrt{2}|1, 0\rangle$ $S_-|1, 0\rangle = \sqrt{2}|1, -1\rangle$ $S_-|1, -1\rangle = 0$

• **from which we find**

$$S_x|1, 1\rangle = \frac{1}{\sqrt{2}}|1, 0\rangle$$

$$S_x|1, 0\rangle = \frac{1}{\sqrt{2}}(|1, 1\rangle + |1, -1\rangle)$$

$$S_x|1, -1\rangle = \frac{1}{\sqrt{2}}|1, 0\rangle$$

• **(A2) becomes**

$$\sin \theta \left[\frac{\alpha}{\sqrt{2}}|1, 0\rangle + \frac{\beta}{\sqrt{2}}|1, -1\rangle + \frac{\beta}{\sqrt{2}}|1, 1\rangle + \frac{\gamma}{\sqrt{2}}|1, 0\rangle \right] +$$

$$\alpha \cos \theta |1, 1\rangle - \gamma \cos \theta |1, -1\rangle = \alpha |1, 1\rangle + \beta |1, 0\rangle + \gamma |1, -1\rangle$$

• **which gives**

$$\left. \begin{aligned} \beta \frac{\sin \theta}{\sqrt{2}} + \alpha \cos \theta &= \alpha \\ (\alpha + \gamma) \frac{\sin \theta}{\sqrt{2}} &= \beta \\ \beta \frac{\sin \theta}{\sqrt{2}} - \gamma \cos \theta &= \gamma \end{aligned} \right\}$$

• **using** $\alpha^2 + \beta^2 + \gamma^2 = 1$ **the above equations yield**

$$\alpha = \frac{1}{\sqrt{2}}(1 + \cos \theta) \quad \beta = \frac{1}{\sqrt{2}} \sin \theta \quad \gamma = \frac{1}{\sqrt{2}}(1 - \cos \theta)$$

• **hence** $\psi = \frac{1}{2}(1 - \cos \theta)|1, -1\rangle + \frac{1}{\sqrt{2}} \sin \theta |1, 0\rangle + \frac{1}{2}(1 + \cos \theta)|1, +1\rangle$

- The coefficients α, β, γ are examples of what are known as quantum mechanical **rotation matrices**. They express how angular momentum eigenstate in a particular direction is expressed in terms of the eigenstates defined in a different direction

$$d_{m',m}^j(\theta)$$

- For spin-1 ($j = 1$) we have just shown that

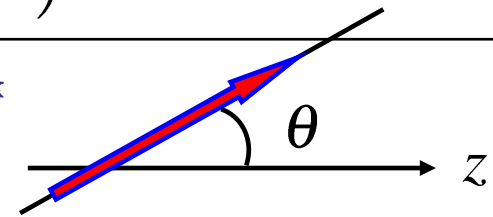
$$d_{1,1}^1(\theta) = \frac{1}{2}(1 + \cos \theta) \quad d_{0,1}^1(\theta) = \frac{1}{\sqrt{2}} \sin \theta \quad d_{-1,1}^1(\theta) = \frac{1}{2}(1 - \cos \theta)$$

- For spin-1/2 it is straightforward to show

$$d_{\frac{1}{2},\frac{1}{2}}^{\frac{1}{2}}(\theta) = \cos \frac{\theta}{2} \quad d_{-\frac{1}{2},\frac{1}{2}}^{\frac{1}{2}}(\theta) = \sin \frac{\theta}{2}$$

Spin Considerations ($E \gg m$)

- 正负电子湮灭的LL 和LR过程截面的差异可用QM角动量守恒解释
- 碰撞前系统的自旋态记作 $|j, j_z\rangle$ ，碰撞后系统绕y轴转动 θ 角
- 此时系统的自旋态记作 $|j, j'_z\rangle$ 。碰撞后的系统可以由态系统通过转动得到，转动矩阵为



$$d_{j_z, j'_z}^j = \langle j, j'_z | e^{-iJ_y \theta} | j, j_z \rangle$$

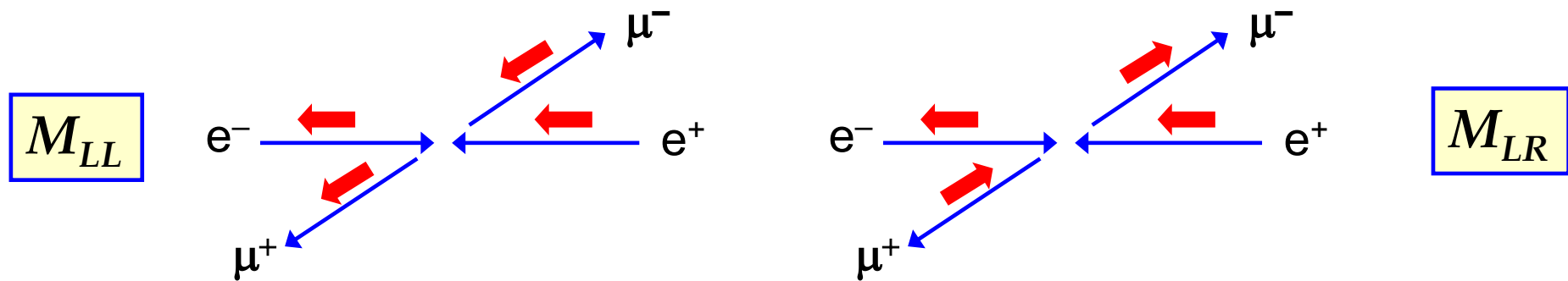
- 矩阵元的一般计算公式为(Wigner's expression):

$$d_{j_z, j'_z}^j = \sum_s \frac{(-1)^s [(j+j_z)!(j-j_z)!(j+j'_z)!(j-j'_z)!]^{1/2}}{s!(j-s-j'_z)!(j+j_z-s)!(j'_z+s-j_z)!} \times \left(\cos \frac{\theta}{2}\right)^{2j+j_z-j'_z-2s} \left(-\sin \frac{\theta}{2}\right)^{j'_z-j_z+2s}$$

- 其中对所有满足阶乘内 ≥ 0 的s求和
- 这里列出几个:

$$d_{0,0}^0 = 1, \quad \begin{pmatrix} d_{1,1}^1 & d_{1,0}^1 & d_{1,-1}^1 \\ d_{0,1}^1 & d_{0,0}^1 & d_{0,-1}^1 \\ d_{-1,1}^1 & d_{-1,0}^1 & d_{-1,-1}^1 \end{pmatrix} = \begin{pmatrix} \frac{1+\cos\theta}{2} & -\frac{\sin\theta}{\sqrt{2}} & \frac{1-\cos\theta}{2} \\ \frac{\sin\theta}{\sqrt{2}} & \cos\theta & -\frac{\sin\theta}{\sqrt{2}} \\ \frac{1-\cos\theta}{2} & \frac{\sin\theta}{\sqrt{2}} & \frac{1+\cos\theta}{2} \end{pmatrix}$$

- 不变矩阵元和转动矩阵有关: $|M_{fi}|^2 \propto |d_{j_z, j'_z}^j|^2$



- **LL** 过程：碰撞前系统总自旋为**1**，自旋态为 $|j, j_z\rangle = |1, -1\rangle$ ，碰撞后系统总自旋仍为**1**，自旋态为 $|j, j'_z\rangle = |1, -1\rangle$ ，于是

$$|M_{fi}|^2 \Big|_{LL} \propto |d_{-1,-1}^1|^2 = \left(\frac{1 + \cos \theta}{2} \right)^2$$

- **LR** 过程：碰撞前系统总自旋为**1**，自旋态为 $|j, j_z\rangle = |1, -1\rangle$ ，碰撞后系统为 $|j, j'_z\rangle = |1, 1\rangle$ ，于是

$$|M_{fi}|^2 \Big|_{LR} \propto |d_{-1,1}^1|^2 = \left(\frac{1 - \cos \theta}{2} \right)^2$$

Clebsh-Gordan coefficients

- 将两个不同的角动量相加，可以得到

$$\mathbf{J} = \mathbf{J}_1 + \mathbf{J}_2$$

- 有两组可以互相转换的本征值：

$$|j_1, j_2; j, j_z\rangle$$

$$|j_1, j_2; j_{z1}, j_{z2}\rangle \equiv |j_1, j_{z1}\rangle \otimes |j_2, j_{z2}\rangle$$

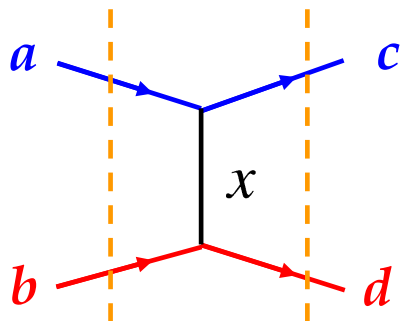
- 其满足：

$$|j_1, j_2; j, j_z\rangle = \sum_{j_{z1}, j_{z2}} C(j_1, j_2, j; j_{z1}, j_{z2}, j_z) |j_1, j_2; j_{z1}, j_{z2}\rangle$$

- $C(j_1, j_2, j; j_{z1}, j_{z2}, j_z)$ 就是CG系数

传播子与共振态

Recap:



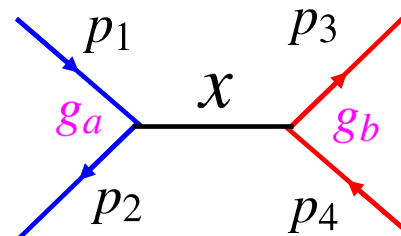
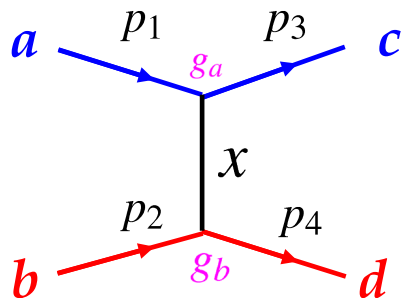
$$M_{fi} = \frac{g_a g_b}{q^2 - m_x^2}$$

- 量子场论中，将费曼图中的内线称呼为传播子，传播子往往不满足质壳关系，即

$$E_x^2 - |\vec{p}_x|^2 = q^2 \neq m_x^2$$

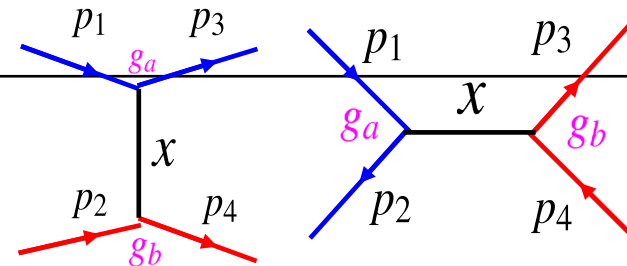
因此传播子也被称为虚粒子。

- 但是如果在特殊条件下满足了 $q^2 = m_x^2$ ，共振态就出现了。



- 这两种过程哪个可能产生共振态？

传播子与共振态



- 写出两张图中传播子对应的不变矩阵元:

$$M = g_a g_b \left(\frac{1}{(p_1 - p_3)^2 - m_X^2} + \frac{1}{(p_1 + p_2)^2 - m_X^2} \right)$$

- 在质心系中计算, 假设外线粒子质量 m , 内线粒子质量 m_X
- 写出四动量:

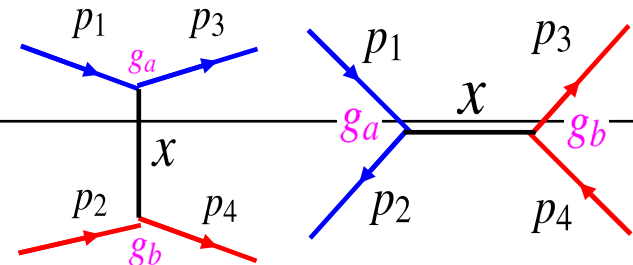
$$p_1: (E, \vec{p}), \quad p_2: (E, -\vec{p}), \quad p_3: (E, \vec{p}'), \quad p_4: (E, -\vec{p}')$$

- 第一项 $\frac{1}{(p_1 - p_3)^2 - m_X^2}$ 是 **t(u)-channel** 的贡献:

$$t = q^2 = (p_1 - p_3)^2 = (E - E)^2 - (\vec{p} - \vec{p}')^2 < 0$$

- 因此, 第一项分母 $t - M_X^2$ 总不为零, 第一项是有限的, 不会导致共振态的出现

传播子与共振态



- 第二项 $\frac{1}{(p_1 + p_2)^2 - m_X^2}$ 是 **s-channel** 的贡献:

$$s = q^2 = (p_1 + p_2)^2 = (E + E)^2 - (\vec{p} - \vec{p})^2 = 4E^2 > 4m^2$$

- $m_X^2 < 4m^2 < s$
- $s - m_X^2$ 永远不为零, 第二项有限。此时的传播子 **永远是虚粒子**。
- $m_X^2 > 4m^2$
- 此时, 在某种动量下, $s = m_X^2$ 可以满足, 分母等于 **0**, 第二项发散! **此时传播子在壳, 不是虚粒子, 可以产生共振态**。
- 第二项可能发散说明式子中的写法有错误。实际上, 此时的传播子不稳定, 可以衰变到两个粒子 **3** 和 **4**, **s-channel** 的矩阵元必须考虑到传播子的衰变。
- **Recap:**

粒子衰变的量子力学描述: 设 $t = 0$ 时形成能量为 E_0 、平均寿命为 τ 的态,

$$\psi(t) = \psi(0)e^{-iE_0 t} e^{-t/2\tau} \quad |\psi(t)|^2 = |\psi(0)|^2 e^{-t/\tau}$$

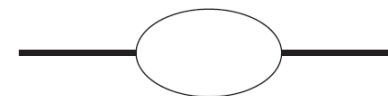
i.e. the probability density decays exponentially (as required)

- $\Gamma = \frac{1}{\tau}$, 相当于对能量进行修正: $E = E - i\frac{\Gamma}{2}$

传播子与共振态

- 类似的，在量子场论中对传播子场作如图所示圈图修正时，正是对传播子矩阵元中的质量项进行修正：

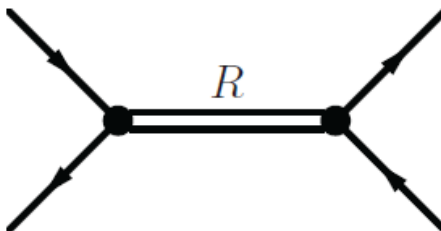
$$m_X = m_R - i\frac{\Gamma}{2}$$



- 于是**s-channel**的矩阵元被修正为：

$$M_s = \frac{g^2}{s - \left(m_R - i\frac{\Gamma}{2}\right)^2}$$

- 为了计算反应截面，假设 $\Gamma \ll m_R$ ，得到 $\tau = \frac{1}{\Gamma} \gg \frac{1}{m_R} = \lambda$ ，这意味着传播子的寿命 τ 远大于光通过 λ 距离（传播子的**Compton** 波长）所需要的时间。因此可以认为，此时**s-channel**中产生了一个真实的中间态粒子**R**，它通过初态粒子的碰撞产生，存在一段时间后衰变到末态粒子，这个中间态粒子成为共振态。



传播子与共振态

- 此时有:

$$\left(m_R - i\frac{\Gamma}{2}\right)^2 \simeq m_R^2 - im_R\Gamma$$
$$M_s = \frac{g^2}{s - m_R^2 + im_R\Gamma}$$

- 代入质心系弹性散射的微分截面公式: $\frac{d\sigma}{d\Omega} = \frac{1}{64\pi^2 s} |M|^2$:

$$\frac{d\sigma}{d\Omega} = \frac{1}{64\pi^2 s} \frac{g^4}{[E^2 - m_R^2 + im_R\Gamma]^2}$$

- 上式中E为质心系总能量。对于共振态, 可以用可观测量 Γ 替代掉式中的g:
- 二体衰变:

$$\Gamma = \frac{|\vec{p}^*|}{32\pi^2 E_i m_i} \int |M|^2 d\Omega = \frac{\frac{1}{2m_R} \sqrt{(m_R^2 - 4m^2)}}{32\pi^2 E m_R} \int g^2 d\Omega = \frac{g^2}{16\pi E m_R} \sqrt{1 - \frac{4m^2}{m_R^2}}$$

- 代入得到:

$$\frac{d\sigma}{d\Omega} = \frac{4m_R^2}{m_R^2 - 4m^2} \frac{\Gamma^2}{(E^2 - m_R^2)^2 + m_R^2 \Gamma^2}$$

传播子与共振态

- 根据 $R \rightarrow 3 + 4$ 能量守恒: $m_R = 2\sqrt{m^2 + \vec{p}'^2}$:

$$m_R^2 - 4m^2 = 4|\vec{p}'|^2 = 4|\vec{p}|^2$$

- 代入微分截面表达式:

$$\frac{d\sigma}{d\Omega} = \frac{m_R^2}{|\vec{p}|^2} \frac{\Gamma^2}{(E^2 - m_R^2)^2 + m_R^2 \Gamma^2}$$

- 积分得到:

$$\sigma \simeq \frac{4\pi m_R^2}{|\vec{p}|^2} \frac{\Gamma^2}{(E^2 - m_R^2)^2 + m_R^2 \Gamma^2}$$

- 此时被称为相对论 **Breit-Wigner** 共振态公式。

传播子与共振态

- 考虑特殊情况，共振态很窄： $E \simeq m_R$, $E^2 - m_R^2 \simeq 2m_R(E - m_R)$

$$\sigma \simeq \frac{4\pi}{|\vec{p}|^2} \frac{(\frac{\Gamma}{2})^2}{(E - m_R)^2 + (\frac{\Gamma}{2})^2}$$

- 此时被称为非相对论**Breit-Wigner**共振态公式。

- 当 $E = m_R$ 时总截面达到最大 $\sigma_{max} = \frac{4\pi}{|\vec{p}|^2}$

- 当 $E = m_R \pm \frac{\Gamma}{2}$ 时总截面为：

$$\sigma = \frac{4\pi}{|\vec{p}|^2} \frac{(\frac{\Gamma}{2})^2}{\left(m_R \pm \frac{\Gamma}{2} - m_R\right)^2 + (\frac{\Gamma}{2})^2} = \frac{1}{2} \sigma_{max}$$

- 可见 Γ 是共振峰半高上的全宽度（**full width at half maximum**），称为共振峰的宽度。

